



1150005596



IMECC
T/UNICAMP R448s

S³ FIBRADOS E AÇÕES EXÓTICAS

ALCIBIADES RIGAS

Tese apresentada ao Instituto de Matemática, Estatística e Ciência da Computação, como requisito para obtenção do título de Livre Docência.

Maio - 1983 -

I. M. E. C. C.
BIBLIOTECA

2000 1000
MATEMÁTICA - GEOMETRIA

§0. INTRODUÇÃO.

O objetivo deste trabalho é construir representantes explícitos para todos os fibrados principais com fibra S^3 e para alguns fibrados principais com fibra $SO(4)$ sobre as esferas S^4 e S^7 ([S] e [J-W]).

Isso nos permite compreender melhor as ações exóticas livres de S^3 sobre $S^7 \times S^3$. I.e., ações livres com quociente uma esfera sete dimensional com estrutura diferenciável não "standard". Pelo trabalho [E-K] de J. Eells e N. Kuiper sabemos que quinze esferas exóticas Σ^7 são espaços totais de fibrados, com fibra S^3 e grupo $SO(4)$, sobre a esfera S^4 . Das quinze, sete aparecem como quocientes explícitos do tipo

$$(*) \quad S^3 \dots S^7 \times S^3 \longrightarrow \Sigma^7 .$$

Para cada uma das Σ^7 's temos uma infinidade de ações livres do tipo (*).

Ainda como consequência segue também que existem tais ações exóticas livres sobre o $Sp(2)$ e sobre os outros dez S^3 -fibrados principais sobre o S^7 . Essas ações poderiam ser descritas de uma maneira similar como a do §4, generalizando assim o exemplo de D. Gromoll e W. Meyer [G-M].

As nossas motivações para buscar descrições explícitas para os S^3 -fibrados principais sobre o S^4 , e conseqüentemente o S^7 , surgiram das seguintes considerações:

(a) Os S^1 -fibrados principais sobre o $S^2 \cong \mathbb{C}P^1$, são muito elegantes e canônicos. A sua existência e elegância são consequência da multiplicação dos números complexos e a sua comutatividade. Os seus espaços totais são os espaços de lente S^3/\mathbb{Z}_n , $n = 1, 2, \dots$. A multiplicação quaterniônica resulta na existência dos S^3 -fibrados principais sobre o $S^4 \cong \mathbb{Q}P^1$. Apesar dessa multiplicação não ser comutativa, espera-se que existe alguma maneira canônica de obter os espaços totais desses fibrados. Ver por exemplo [S].

(b) O trabalho [A - H - S] de M. Atiyah, N. Hitchin e I.M. Singer sugere que fibrados sobre S^4 e conexões "naturais" sobre eles são de algum interesse para a física teórica. Os "tijolos" para construir fibrados com fibra "razoável" sobre S^4 são os S^3 -principais. Descrições naturais desses fibrados poderiam facilitar os cálculos.

(c) Um problema de geometria diferencial sugerido pelo trabalho [C - G] de J. Cheeger e D. Gromoll: "Todos os fibrados vetoriais sobre qualquer esfera euclideana admitem métricas riemannianas completas com curvatura seccional não negativa"? Esse problema, no caso não estável, começa a ser não trivial apenas neste ponto: os fibrados S^3 -principais sobre o S^4 . Veja por exemplo [D - R], [R₂], [R₁] e [We].

O presente trabalho não inclui cálculos de conexões e curvaturas.

Queremos agradecer os amigos D. Derdzinski e F. Mercuri por muitas discussões e sugestões.

§1. PRELIMINARES

Seja \mathbb{H} o corpo dos quartênios. Lembramos que \mathbb{H} é isomorfo a \mathbb{R}^4 como espaço vetorial real. Se $\{1, i, j, k\}$ é a base canônica do \mathbb{R}^4 , a multiplicação de dois quartênios é feita conforme as seguintes regras:

(a) $\mu : \mathbb{H} \times \mathbb{H} \longrightarrow \mathbb{H}$ é uma aplicação bilinear com respeito à estrutura de espaço vetorial real.

(b) a tabela de multiplicação dos elementos da base é a seguinte:

$$1q = q1 = q \text{ para todo } q \text{ em } \mathbb{H}.$$

$$i^2 = j^2 = k^2 = -1$$

$$ij = -ji = k, \quad jk = -kj = i \quad \text{e} \quad ki = -ik = j.$$

Algumas consequências imediatas de (a) e (b):

Se $x = x_0 + x_1i + x_2j + x_3k$ com x_3 real definimos como o conjugado de x

$$\bar{x} := x_0 - x_1i - x_2j - x_3k$$

e temos que $x\bar{x} = \bar{x}x = |x|^2$ onde $| \cdot |$ denota a norma euclidiana de x como elemento do \mathbb{R}^4 .

Então, $x^{-1} = \bar{x}|x|^{-2}$ para todo $x \neq 0$ em \mathbb{H} .

Também $|xy| = |x||y|$ para todo x, y em \mathbb{H} .

Seja $Sp(n)$ o grupo das matrizes A , $n \times n$, com entradas quaternios que satisfazem.

$$(c) \quad AA^* = A^*A = I$$

onde A^* é a transposta conjugada de A .

Se $A = (a_{ij})$ as relações (c) significam

(c₁) Todas as linhas de A são vetores unitários: $L^i \cdot \bar{L}^i = 1$,
 $i = 1, 2, \dots, n$.

(c₂) As linhas são mutualmente ortogonais:

$$L^i \cdot \bar{L}^j = 0 \quad \text{para todo } i \neq j.$$

(c'₁) Todas as classes são vetores unitários:

$$\bar{C}_i \cdot C_i = 1 \quad \text{para todo } i = 1, \dots, n$$

(c'₂) Todas as colunas são mutualmente ortogonais:

$$\bar{C}_i \cdot C_j = 0 \quad \text{para todo } i \neq j.$$

Aqui o produto $R^i \cdot \bar{R}^j$ significa $\sum_{k=1}^n a_{ik} \bar{a}_{jk}$, etc... . Observamos que o conjunto de condições $\{(c_1), (c_2)\}$ é equivalente ao conjunto $\{(c'_1), (c'_2)\}$.

A esfera unitária $S^3 = \{q \in \mathbb{H} \mid |q| = 1\}$ é um grupo como segue da propriedade de conservação da norma. Esse grupo é identificado com o $Sp(1)$ de maneira óbvia (e também com o grupo

de matrizes complexas $SU(2)$).

Seja $\Delta : Sp(1) \longrightarrow Sp(n)$ a inclusão diagonal

$$\Delta(q) = \begin{pmatrix} q & & & 0 \\ & q & & \\ & & \ddots & \\ 0 & & & q \end{pmatrix}$$

Denotaremos a imagem $(Sp(1))$ com $Sp^n(1)$, subgrupo de $Sp(n)$, para $n = 1, 2, \dots$.

Lembramos [Bott] que o terceiro grupo de homotopia $\pi_3(Sp(n)) = \mathbb{Z}$ e é gerado por qualquer uma das inclusões canônicas de $Sp(1)$ em $Sp(n)$:

$$q \longrightarrow \begin{pmatrix} q & & & 0 \\ & 1 & & \\ & & \ddots & \\ 0 & & & 1 \end{pmatrix} \quad \text{ou} \quad q \longrightarrow \begin{pmatrix} 1 & & & 0 \\ \vdots & & & \\ & 1 & & \\ & & q & \\ 0 & & & \ddots & \\ & & & & 1 \end{pmatrix}, \text{etc.}$$

Como $Sp(n)$ é um grupo de Lie, a classe de homotopia do produto de duas aplicações $[f \cdot g]$ é igual ao produto das classes de homotopia $[f] [g]$. Então, a inclusão Δ induz a seguinte aplicação em nível de π_3 .

$$\Delta_{\#} : \pi_3 Sp(1) \longrightarrow \pi_3 Sp(n)$$

$$1 \longrightarrow n .$$

Isto implica que

$$(1) \quad \pi_3 \left(\text{Sp}^n(1) \backslash \text{Sp}(n) \right) \cong \mathbb{Z}_n$$

Observe aqui que o quociente é induzido pela ação de $\text{Sp}^n(1)$ à esquerda de $\text{Sp}(n)$.

Seja agora $n \geq 2$ e considere o $\text{Sp}(n-1)$, atuando pela direta no quociente $\text{Sp}^n(1) \backslash \text{Sp}(n)$ e deixando livre a primeira coluna. I.e., A em $\text{Sp}(n-1)$ atua como $\begin{pmatrix} 1 & 0 \\ 0 & A \end{pmatrix}$ pela direta por multiplicação de matrizes.

LEMA 1. A ação descrita acima

$$\text{Sp}^n(1) \backslash \text{Sp}(n) \times \text{Sp}(n-1) \longrightarrow \text{Sp}^n(1) \backslash \text{Sp}(n)$$

é livre com quociente o espaço projetivo quaterniônico $\mathbb{Q}P^{n-1}$.

DEMONSTRAÇÃO. Se B em $\text{Sp}(n)$, q em $\text{Sp}(1)$ e A em $\text{Sp}(n-1)$, então $BA = (q)^n B$ implica que B e $(q)^n B$ tem a mesma primeira coluna, então $q = 1$ e conseqüentemente $A = I$. Então a ação é livre.

O quociente $\text{Sp}^n(1) \backslash \text{Sp}(n) / \text{Sp}(n-1)$ pode ser obtido

também na seguinte maneira:

$$\begin{array}{ccc}
 \text{Sp}(n) \xrightarrow{\text{proj.}} & \text{Sp}(n) / \text{Sp}(n-1) & \cong & S^{4n-1} \\
 & \downarrow & & \downarrow \text{proj. de Hopf} \\
 & \text{Sp}^n(1) \setminus \text{Sp}(n) / \text{Sp}(n-1) & = & \text{QP}^{n-1}
 \end{array}$$

Diagrama 1.

I.e., um B em $\text{Sp}(n)$ projeta na sua primeira coluna

$$B \xrightarrow{\text{proj.}} \begin{pmatrix} b_1 \\ \cdot \\ \cdot \\ \cdot \\ b_n \end{pmatrix} \text{ e } q \text{ atua pela esquerda nesta primeira coluna}$$

$$\text{como } \begin{pmatrix} qb_1 \\ \cdot \\ \cdot \\ qb_n \end{pmatrix} \text{ com quociente } \text{QP}^{n-1}.$$

Q.E.D.

OBSERVAÇÃO. Em $[G - M]$, o $\text{QP}^1 \cong S^4$ é escrito como

$$\text{Sp}^2(1) \setminus \text{Sp}(2) / \text{Sp}(1).$$

Agora nós temos os seguintes $\text{Sp}(n-1)$ -fibrados principais para $n \geq 2$:

$$\text{Sp}(n-1) \dots \text{Sp}^n(1) \Big/ \text{Sp}(n) \xrightarrow{\pi_n} \mathbb{Q}\mathbb{P}^{n-1} .$$

Denotaremos os elementos de $\mathbb{Q}\mathbb{P}^{n-1}$ por

$$\begin{bmatrix} a_1 \\ a_2 \\ \vdots \\ a_n \end{bmatrix} , \text{ i.é., a classe de equivalência do elemento de } S^{4n-1} \text{ sob}$$

a ação de $\text{Sp}(1)$, ou a linha quaterniônica definida por $\begin{bmatrix} a_1 \\ \vdots \\ a_n \end{bmatrix} .$

Identificando o S^4 com o $\mathbb{Q}\mathbb{P}^1$ e lembrando que a inclusão natural de $\mathbb{Q}\mathbb{P}^1$ em $\mathbb{Q}\mathbb{P}^{n-1}$

$$\begin{bmatrix} a \\ b \end{bmatrix} \longrightarrow \begin{bmatrix} a \\ b \\ 0 \\ \vdots \\ 0 \end{bmatrix}$$

gera o $\pi_4(\mathbb{Q}\mathbb{P}^{n-1}) = \mathbb{Z}$, para todo $n \geq 2$, temos

LEMA 2. Seja $X_n := p_n^{-1}(\mathbb{Q}\mathbb{P}^1)$ onde $\mathbb{Q}\mathbb{P}^1$ é incluído em $\mathbb{Q}\mathbb{P}^{n-1}$ como acima. Então X é o espaço total de um fibrado $\text{Sp}(n-1)$ -principal sobre S^4 com $\pi_3(X_n) = \mathbb{Z}_n$.

DEMONSTRAÇÃO. Pela definição de X_n nós temos o diagrama tipo "pull-back"

$$\begin{array}{ccc}
 \text{Sp}(n-1) & = & \text{Sp}(n-1) \\
 \vdots & & \vdots \\
 \vdots & & \vdots \\
 X_n & \xrightarrow{i'} & \text{Sp}^n(1) \begin{array}{l} / \\ \backslash \end{array} \text{Sp}(n) \\
 \downarrow & & \downarrow \\
 S^4 & \xrightarrow{i} & \text{QP}^{n-1}
 \end{array}$$

então só precisa calcular o $\pi_3(X_n)$. Mas a sequência exata de homotopia do diagrama junto com (1) implica

$$\begin{array}{ccccccc}
 \mathbb{Z} & \xrightarrow{\partial} & \mathbb{Z} & \longrightarrow & \pi_3(X_n) & \longrightarrow & 0 \\
 \parallel & & \parallel & & \downarrow & & \\
 \mathbb{Z} & \xrightarrow{\cong} & \mathbb{Z} & \xrightarrow{n} & \mathbb{Z}_n & \longrightarrow & 0
 \end{array}$$

Então $\pi_3(X_n) \cong \mathbb{Z}_n$. QED.

LEMA 3. O fibrado $\text{Sp}(n-1) \dots X_n \longrightarrow S^4$ se reduz em um fibrado principal

$$\text{Sp}(1) \dots P_n \longrightarrow S^4$$

com $\pi_3(P_n) = \mathbb{Z}_n$.

DEMONSTRAÇÃO. Uma tal redução existe se e so se existe uma secção σ_n do fibrado associado

$$(2) \quad \text{Sp}(n-1) / \text{Sp}(1) \cdots X_n / \text{Sp}(1) \longrightarrow S^4.$$

Neste caso $P_n = \mu^{-1}(\sigma_n(S^4))$, onde

$$\mu : X_n \longrightarrow X_n / \text{Sp}(1)$$

é a óbvia projeção. (veja [K - N]).

No nosso caso, a fibra $\text{Sp}(n-1) / \text{Sp}(1)$ é uma variedade de Stiefell que é pelo menos 6-conexa. Então uma tal secção sempre existe ([H]) pois a base S^4 tem dimensão só 4. Para calcular $\pi_3(P_n)$ consideremos o comutativo

$$\begin{array}{ccc} \text{Sp}(1) & \longleftrightarrow & \text{Sp}(n-1) \\ \vdots & & \vdots \\ \vdots & & \vdots \\ P_n & \hookrightarrow & X_n \\ \downarrow & & \downarrow \\ S^4 & = & S^4 \end{array}$$

Diagrama 2

Lembrando que a inclusão, $Sp(1)$ em $Sp(n-1)$ gera um isomorfismo entre π_3 temos que $\pi_3 P_n = \pi_3 X_n$. QED.

COROLÁRIO 4. Os fibrados P_n acima são todos os fibrados principais sobre S^4 com fibra S^3 .

DEMONSTRAÇÃO |S|. Uma classificação completa dos S^3 -fibrados principais sobre S^4 é dada pelo π_3 do espaço total que é $\mathbb{Z}/n\mathbb{Z}$, $n = 1, 2, \dots$. QED.

Para representar cada P_n como uma subvariedade específica de $Sp^n(1) \setminus Sp(n)$ um método seria a exibição das secções σ_n do lema 3. Porém, nós preferimos analisar um pouco mais a nossa informação que até agora é a seguinte:

(I) Todo P_n é subvariedade de $Sp^n(1) \setminus Sp(n)$, a primeira coluna de todo elemento de P_n é da forma $\begin{bmatrix} a \\ b \\ 0 \\ \vdots \\ 0 \end{bmatrix}$ e a ação livre

do $Sp(1)$ em P_n é pela *direta* na última coluna por multiplicação quaterniônica. (A última coluna foi escolhida arbitrariamente. Qualquer uma, exceto a primeira, serve).

Agora fazemos o "pull-back" dos P_n 's pela fibração de Hopf

$$S^3 \dots S^7 \xrightarrow{h} S^4$$

na seguinte maneira

$$\begin{array}{ccccc}
 & & \text{Sp}(1) & & \text{Sp}(1) \\
 & & \vdots & & \vdots \\
 \text{Sp}^n(1) \dots & \dots & \tilde{\text{P}}_n & \xrightarrow{\text{H}} & \text{P}_n \\
 & & \downarrow \tilde{\text{F}}_n & & \downarrow \\
 \text{S}^3 \dots & \dots & \text{S}^7 & \xrightarrow{\text{h}} & \text{S}^4
 \end{array}$$

Diagrama 3

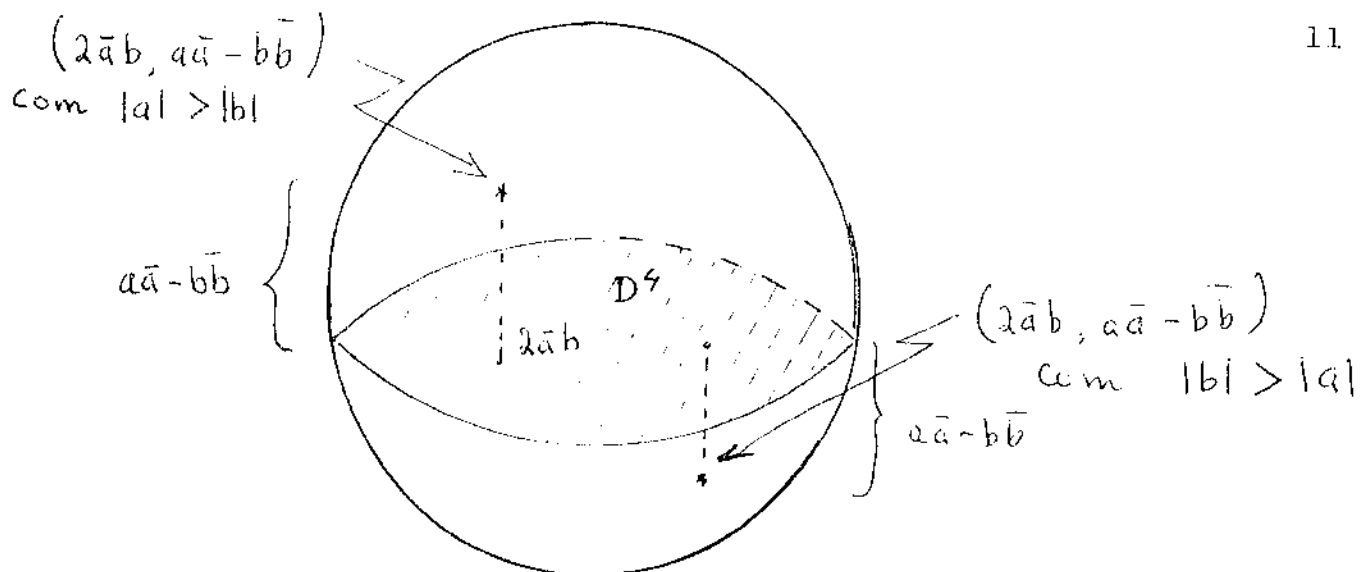
Primeiro lembramos a aplicação h ([G-M]):

$$\text{Se } \text{S}^7 = \left\{ \begin{pmatrix} a \\ b \end{pmatrix} \text{ em } \mathbb{H}^2 \mid a\bar{a} + b\bar{b} = 1 \right\}$$

então temos

$$h \begin{pmatrix} a \\ b \end{pmatrix} := (2\bar{a}b, a\bar{a} - b\bar{b}) \equiv \begin{bmatrix} a \\ b \end{bmatrix},$$

onde o primeiro elemento $2\bar{a}b$ fica no disco unitário fechado D^4 é o segundo elemento $a\bar{a} - b\bar{b}$ é a altura necessária para que o vetor $h \begin{pmatrix} a \\ b \end{pmatrix}$ do \mathbb{R}^5 esteja em S^4 :



A esfera S^4 como imagem da aplicação de Hopf.

Considere agora a esfera S^7 escrita com n coordenadas quater-

niônicas:

$$\begin{pmatrix} a \\ b \\ 0 \\ \vdots \\ 0 \end{pmatrix} .$$

Da informação (I) acima e do Diagrama 3 temos que \tilde{P}_n é uma subvariedade 10-dimensional de $Sp(n)$ cujos elementos tem primei-

ra coluna da forma $\begin{pmatrix} a \\ b \\ 0 \\ \vdots \\ 0 \end{pmatrix}$ e que o $Sp(1)$ atua pela *direta* na úl-

tima coluna por multiplicação quaterniônica, produzindo S^7 como quociente, e o $Sp^n(1)$ atua livremente pela *esquerda* produzindo P_n no quociente.

COROLÁRIO 5. Os fibrados \tilde{P}_n podem ser obtidos por diagramas ti-
po "pull-back" como

$$\begin{array}{ccc}
 \begin{array}{c} \text{Sp}(1) \\ \vdots \\ \vdots \\ \tilde{P}_n \end{array} & \xrightarrow{\tilde{i}_n} & \begin{array}{c} \text{Sp}(1) \\ \vdots \\ \vdots \\ \text{Sp}(n) \end{array} \\
 \downarrow & & \downarrow \\
 S^7 & \xrightarrow{i_n} & \text{Sp}(n) / \text{Sp}(1)
 \end{array}$$

Diagrama 4

onde os i_n e \tilde{i}_n são inclusões a serem determinadas.

DEMONSTRAÇÃO. Óbvia pela discussão acima. QED.

Agora nós observamos que podemos obter os fibrados P_n sobre S^4 como quocientes dos fibrados \tilde{P}_n sobre S^7 :

COROLÁRIO 6. Se \tilde{P}_n é determinado por intermédio da Diagrama 4 e é também invariante com respeito a $\text{Sp}^n(1)$ - ação pela esquerda, então o seu quociente $\text{Sp}^n(1) \backslash \tilde{P}_n \equiv P_n$ é o espaço total de um fibrado $\text{Sp}(1)$ -principal sobre o S^4 com $\pi_3(P_n) = \mathbb{Z}_n$, $n=2,3,\dots$

DEMONSTRAÇÃO. Pela sequência exata de homotopia do Diagrama 4 segue que

$$\pi_3(\tilde{P}_n) = \mathbb{Z}$$

e que a aplicação induzida

$$\tilde{i}_n \# : \pi_3(\tilde{P}_n) \longrightarrow \pi_3 Sp(n)$$

é um isomorfismo. Consequentemente, a inclusão de qualquer órbita de $Sp^n(1)$ em \tilde{P}_n induz a seguinte aplicação

$$\pi_3(Sp^n(1)) \cong \mathbb{Z} \longrightarrow \mathbb{Z} \cong \pi_3(P_n)$$

$$1 \longleftarrow n .$$

Segue que o quociente P_n tem $\pi_3(P_n) \cong \mathbb{Z}_n$ e que o fibrado $Sp(1) \dots P_n \longrightarrow S^4$ será classificado então pelo tamanho das matrizes-elementos do P_n . QED.

Na seguinte secção nós construiremos uma sequência infinita de \tilde{P}_n 's e classificamo-los com S^3 fibrados sobre S^7 .

§2. S^3 -FIBRADOS SOBRE S^7 .

Os fibrados S^3 -principais sobre S^7 são classificados pelas classes de homotopia de aplicações: $S^7 \longrightarrow BS^3 \cong QP^\infty$, que podem ser identificadas com $\pi_6(S)^3 \cong \mathbf{Z}_{12}$.

Um gerador natural deste grupo é o fibrado

$$Sp(1) \dots Sp(2) \longrightarrow S^7$$

Veja [Hu].

Denotaremos os espaços totais destes fibrados por E_i , com $E_1 \equiv Sp(2)$, $E_2 =$ (duas vezes $Sp(2)$), ..., $E_{12} \equiv E_0 =$ (doze vezes $Sp(2)$). Aqui, (duas vezes $Sp(2)$), etc., significa o fibrado obtido como "pull-back" do fibrado

$$Sp(1) \dots Sp(2) \longrightarrow S^7$$

sobre S^7 , através de uma aplicação f_2 de grau 2, etc., com $f_2 : S^7 \longrightarrow S^7$.

Observe que $E_{12} \equiv E_0$ é um fibrado trivial com espaço total difeomorfo a $S^7 \times S^3$.

Para classificarmos os \tilde{P}_n como fibrados S^3 -principais sobre o S^7 , aumentamos o Diagrama 3 como segue:

$$\begin{array}{ccccccc}
 & & S^3 & & S^3 & & S^3 \\
 & & \vdots & & \vdots & & \vdots \\
 Sp^n(1) & \dots & \tilde{P}_n & \longrightarrow & P_n & \longrightarrow & S^7 \\
 & & \downarrow & & \downarrow & & \downarrow h \\
 S^3 & \dots & S^7 & \xrightarrow{h} & S^4 & \xrightarrow{f_n} & S^4 \xrightarrow{j} BS^3 \equiv QP^\infty
 \end{array}$$

Diagrama 5

onde f_n é uma aplicação de grau n e j é a inclusão natural de $S^4 \rightarrow QP^1$ em $\varinjlim_n QP^n \equiv BS^3$.

A aplicação classificante do fibrado \tilde{P}_n sobre S^7 é $j \circ f_n \circ h$, com h a aplicação de Hopf descrita em detalhe no §1. Nós confundiremos a notação de aplicações e suas classes de homotopia quanto a confusão que resulta é pequena.

Primeiro nos lembramos um Teorema de P. Hilton que utilizaremos em seguida.

TEOREMA 7. Se g é um elemento de $\pi_m(S^n)$, $m \leq 3n-3$ e f_1, f_2 são elementos de $\pi_n(X)$, então,

$$(f_1 + f_2) \circ g = f_1 \circ g + f_2 \circ g + [f_1, f_2] H(g)$$

onde $[f_1, f_2]$ é o produto de Whitehead de f_1 e f_2 e $H(g)$ é a invariante de Hopf de g .

DEMONSTRAÇÃO. Veja [H]. QED.

No nosso caso $g \equiv h$ em $\pi_7 S^4$ com $H(g) = 1$.

TEOREMA 8. O fibrado \tilde{P}_n sobre S^7 é isomorfo ao $E_{(n-1) \bmod 12}$ para todo $n \geq 3$.

DEMONSTRAÇÃO. Calculamos primeiro a $f_n \circ f$ em $\pi_7 S^4 \cong \mathbb{Z} \oplus \mathbb{Z}_{12}$ utilizando o Teorema 7, e a seguinte fórmula ([Hu], p. 330).

$$[1, 1] = 2h - \varepsilon \Sigma(\xi)$$

onde 1 é o elemento identidade de $\pi_4 S^4 = \mathbb{Z}$, ε é $+1$ ou -1 dependendo das convenções de orientações e $\Sigma(\xi)$ é a suspensão de

$$\xi : S^6 \longrightarrow S^3$$

que gera $\pi_6(S^3) = \mathbb{Z}_{12}$.

Como segue de [Hu], p. 330 $\Sigma(\xi)$ gera a parte de torção do $\pi_7(S^4)$ e h gera a parte livre. Simplificamos essas notações como

$$h \equiv (1, 0) \quad \text{e} \quad \Sigma(\xi) \equiv (0, 1) \quad \text{em} \quad \mathbb{Z} \oplus \mathbb{Z}_{12}.$$

Observando que o produto de Whitehead é bilinear quando X é uma esfera temos de toda discussão acima:

$$f_2 \circ h = (1 + 1) \circ h = 2h + [1, 1] = (2, 0) + \{(2, 0) \pm (0, 1)\} = (0, \pm 1)$$

$$f_3 \circ h = (1 + 2i) \circ h = 1h + 2ih + [1, 2i] = (3, 0) + 2(2, \pm 1) = (7, \pm 2)$$

e similariamente

$$f_n \circ h = (3n-2, \pm(n-1)) \text{ em } \mathbb{Z} \oplus \mathbb{Z}_{12} \text{ para todo } n.$$

Observamos agora que a aplicação j é essencialmente a aplicação -bordo ∂ da fibração de Hopf $S^3 \dots S^7 \longrightarrow S^4$ e que

$$\partial : \mathbb{Z} \oplus \mathbb{Z}_{12} \longrightarrow \mathbb{Z}_{12} \text{ é apenas}$$

$\partial(a, b) = b$. I.é., j é a projeção de $r_7(S^4)$ em sua componente de torção.

Agora podemos determinar o valor de ε testando no fibrado $S^3 \dots Sp(2) \longrightarrow S^7$:

De acordo com a nossa notação $Sp(2) \cong E_1$, e queremos então que $j \circ f_2 \circ h$, seja o gerador 1 de \mathbb{Z}_{12} . Segue então que $\varepsilon=1$, e que $j \circ f_n \circ h = (n-1) \text{ mod } 12$. QED.

Em particular, $\tilde{P}_{13}, \tilde{P}_{25}, \tilde{P}_{12k+1}$ para todo k são fibrad - dos isomorfos ao fibrado trivial $S^7 \times S^3$ quando $\tilde{P}_2, \tilde{P}_{14}, \tilde{P}_{12k+2}$ são isomorfos ao $Sp(2)$.

Agora nós podemos dar uma descrição concreta para todo \tilde{P}_n e consequentemente todo P_n , $n = 3, 4, \dots$.

ASSERÇÃO 9. A seguinte subvariedade 10-dimensional do $Sp(3)$ é o S^3 -fibrado \tilde{P}_3 sobre o S^7 :

$$\tilde{P}_3 = \left\{ \begin{pmatrix} a & -b|b|^2 & x \\ b & b\bar{a}b & y \\ 0 & \frac{1}{a\sqrt{1+b^2}} & z \end{pmatrix} \text{ em } Sp(3) \right\}$$

DEMONSTRAÇÃO. O conjunto é subvariedade 10-dimensional pois temos sete dimensões reais da primeira coluna (elemento de S^7) e três dimensões da terceira coluna (: A 3ª coluna tem 12 dimensões reais e satisfaz as seguintes relações:

$$\overline{\text{Col}_3} \cdot \text{Col}_2 = 0 \quad \text{:quatro equações reais}$$

$$\overline{\text{Col}_3} \cdot \text{Col}_1 = 0 \quad \text{:quatro equações reais}$$

$$\overline{\text{Col}_3} \cdot \text{Col}_3 = 1 \quad \text{:Uma equação real.)}$$

A invariância com respeito a ação de $Sp^3(1)$ pela esquerda segue do fato que os elementos da 2ª coluna são produtos da forma $\bar{b}ab$ ou a ou b multiplicados por um número real, sempre começando com a ou b (nunca com \bar{a} ou \bar{b}) e tendo um número ímpar de a 's, b 's, \bar{a} 's ou \bar{b} 's. A ação pela esquerda do $Sp^3(1)$ é livre pois é livre na 1ª coluna. A ação de $Sp(1)$ pela direita é na 3ª coluna e isto torna \tilde{P}_3 um fibrado principal sobre S^7 onde a projeção \tilde{c} é a sua primeira coluna.

Segue agora do Corolário 5 e do Teorema 8 que o \tilde{P}_3 descrito acima isomorfo ao fibrado E_2 . Q.E.D.

ASSERÇÃO 10. O fibrado \tilde{P}_4 tem como seu espaço total a seguinte subvariedade 10-dimensional de $Sp(4)$:

$$\tilde{P}_4 = \left\{ \begin{pmatrix} a & -b|b|^2 L^{-1} & 0 & x_1 \\ b & b\bar{a} L^{-1} & 0 & x_2 \\ 0 & a|a|^2 L^{-1} & -b & x_3 \\ 0 & a\bar{b} L^{-1} & a & x_4 \end{pmatrix} \text{ em } Sp(4) \right\}.$$

onde $L = \sqrt{|a|^4 + |b|^2}$.

DEMONSTRAÇÃO. Exatamente a mesma com a demonstração de Asserção 9 acima. É fácil verificar que as três primeiras colunas são mutuamente perpendiculares e que todas as coordenadas são C^∞ em a e b . O fator L é apenas o comprimento do vetor

$$(-b|b|^2, b\bar{a}, a|a|^2, a\bar{b}). \quad \text{Q.E.D.}$$

O processo indutivo para a construção de \tilde{P}_{n+1} , dado o \tilde{P}_n , é dado em seguida e é ilustrado pela construção gradual do \tilde{P}_5 através do \tilde{P}_4 .

CONSTRUÇÃO INDUTIVA DE \tilde{P}_n

ETAPA 1. Esquecer todas as divisões por comprimentos de colunas .
Esquecer a última coluna composta pelos x_i 's .

$$\begin{pmatrix} a & -b|b|^2 & 0 \\ b & b\bar{a}b & 0 \\ 0 & a|a|^2 & -b \\ 0 & a\bar{b}a & a \end{pmatrix}$$

ETAPA 2. Remover (e guardar) as primeiras duas linhas e a primeira coluna:

$$\begin{pmatrix} a|a|^2 & -b \\ a\bar{b}a & a \end{pmatrix}$$

ETAPA 3. Multiplicar todo elemento da primeira coluna por $a\bar{b}$ pela esquerda e colocar o resultado como a nova primeira coluna:

$$\begin{pmatrix} a\bar{b}a|a|^2 & a|a|^2 & -b \\ (a\bar{b})^2a & a\bar{b}a & a \end{pmatrix}$$

ETAPA 4. Colocar $-b$ na primeira posição acima da 2^{a} coluna e

af_k na primeira posição acima da 1^a coluna. O f_k é a função de $|a|^2$ e $|b|^2$ que faz o produto dessas duas colunas igual a zero. I.é.,

$$\overline{(\text{Col})}_1 \cdot (\text{Col})_2 = 0 .$$

Completar a primeira linha com zeros:

$$\begin{pmatrix} af_k & -b & 0 \\ a\bar{b}a|a|^2 & a|a|^2 & -b \\ (a\bar{b})^2a & a\bar{b}a & a \end{pmatrix}$$

Observe que aqui o $f_k \equiv f_0 = |a|^4$.

ETAPA 5. Colocar de volta o pedaço que foi removido na ETAPA 2 completando com zeros a (nova) primeira coluna e as duas (novas) primeiras linhas. Colocar de volta a última coluna dos x_i 's:

$$\begin{pmatrix} a & -b|b|^2 & 0 & 0 & x_1 \\ b & b\bar{a}b & 0 & 0 & x_2 \\ 0 & a|a|^4 & -b & 0 & x_3 \\ 0 & a\bar{b}a|a|^2 & a|a|^2 & -b & x_4 \\ 0 & (a\bar{b})^2a & a\bar{b}a & a & x_5 \end{pmatrix}$$

ETAPA 6. Dividir cada coluna pelo seu comprimento para ficar unitária.

OBSERVAÇÃO 11. É fácil ver que as condições da demonstração das Asserções 9 e 10 são preservadas por essa construção e consequentemente cada um desses \tilde{P}_n é um modelo para os correspondentes Diagramas 3, 4 e 5.

Denotamos por L_1 o comprimento da terceira coluna pela direita de \tilde{P}_n , por L_2 o comprimento da quarta coluna pela direita, etc., e por L_{n-4} o comprimento da $(n-2)$ coluna pela direita que é também a terceira coluna pela esquerda de \tilde{P}_n . Seja L o comprimento da segunda coluna pela esquerda de \tilde{P}_n . Observando que a construção de \tilde{P}_{n+1} deixa as últimas colunas praticamente inalteradas, então com comprimento constante para todo n , nós temos:

PROPOSIÇÃO 12. Os componentes das colunas e as funções f_k satisfazem as seguintes relações:

$$L_1^2 = |a|^4 + |b|^2 = f_0 + |b|^2$$

$$L_2^2 = |a|^{10} + |a|^6 |b|^2 + |b|^2 = f_1 + |b|^2$$

$$L_3^2 = f_2 + |b|^2$$

$$\vdots$$

$$L_{n-4}^2 = f_{n-5} + |b|^2$$

$$L^2 = f_{n-4} + |b|^4$$

onde

$$f_1 = |a|^6 (|a|^4 + |b|^2) = |a|^6 L_1^2$$

$$f_2 = |a|^8 L_1^2 L_2^2$$

$$f_3 = |a|^{10} L_1^2 L_2^2 L_3^2$$

⋮

$$f_{n-4} = |a|^{2n-4} L_1^2 \dots L_n^2$$

Para todo $n \geq 2$ a função f_{n+1} é construída pelas f_i , $i \leq n$, através da fórmula

$$\begin{aligned} f_{n+1} = & |a|^{2n} f_n^2 + |a|^4 |b|^2 f_{n-1}^2 + |a|^6 |b|^4 f_{n-2}^2 + \dots + \\ & + |a|^{2n} |b|^{2n-2} f_1^2 + |a|^{2n+10} |b|^{2n} + |a|^{2n+6} |b|^{2n+2} . \end{aligned}$$

DEMONSTRAÇÃO. Por contas elementares, porém tediosas, aplicadas nas várias etapas da construção dos \tilde{P}_n . Q.E.D.

OBSERVAÇÃO 13. Os L_i 's e f_i 's são funções C^∞ de a e b com $f_i \left(\begin{smallmatrix} a \\ 0 \end{smallmatrix} \right) = 1$, $f_i \left(\begin{smallmatrix} 0 \\ b \end{smallmatrix} \right) = 0$ para todo i , L_i^2 sempre estritamente positivo e conseqüentemente inferiormente limitado por um número positivo, e também $L_i^2 \left(\begin{smallmatrix} 0 \\ b \end{smallmatrix} \right) = 1$.

§3. SO(4)-FIBRADOS E AÇÕES EXÓTICAS.

Os fibrados SO(4)-principais sobre S^4 são classificados pelas classes de homotopia das aplicações $f : S^4 \longrightarrow BSO(4)$, i.e., por $\pi_3 SO(4)$. O grupo SO(4) é difeomorfo a $S^3 \times SO(3)$ mas não é o produto livre destes dois grupos. Antes de analisar o isomorfismo entre SO(4) e $S^3 \times SO(3)$ nós observamos que o recobrimento universal (recobrimento duplo) de SO(4), i.e., o Spin(4) é isomorfo ao produto livre $S^3 \times S^3$ ([We]). Seria então talvez mais natural de trabalhar com os Spin(4)-fibrados principais sobre S^4 , e seus associados. Porém nos preferimos tratar o assunto do ponto de vista de SO(4) cuja ação linear em \mathbb{R}^4 e S^3 é mais familiar em geral.

Seja A uma matriz de SO(4). Consideramos a sua primeira

coluna $\begin{pmatrix} a_{11} \\ a_{21} \\ a_{31} \\ a_{41} \end{pmatrix}$ como um quartênio unitário $q = a_{11} + a_{21}i +$

$+ a_{31}j + a_{41}k$, e a matriz B de SO(4) definida por

$q \longrightarrow B$, tal que, para todo ξ em \mathbb{R}^4 , $B(\xi) = q\xi$.

As colunas de B são q, q_i, q_j e q_k . Observamos que esta aplicação $S^3 \longrightarrow SO(4)$, $(q \longrightarrow B)$ é a secção usual do fibrado dos referenciais ortonormais de S^3 que demonstra a paralelizabilidade de S^3 . É óbvio agora que $B^t = B^{-1}$ e que $B^t A$ é um elemento

;

de $SO(4)$ da forma $\begin{pmatrix} 1 & 0 & 0 & 0 \\ 0 & & & \\ 0 & & C & \\ 0 & & & \end{pmatrix}$ I.é., $C = B^t A$ está em $SO(3)$.

A projeção $S^3 \longrightarrow SO(3)$ é realizada por $\eta \longrightarrow C$ tal que $C(\xi) = \eta \xi \bar{\eta}$. Observe que esta conjugação deixa a parte real do quartênio ξ , i.é., a sua primeira coordenada, invariante.

Temos, em fim, a seguinte correspondência

$$A \longrightarrow (q, \eta)$$

onde η é a classe $\{\eta, -\eta\}$ em $SO(3)$. A ação linear de A sobre ξ em \mathbb{R}^4 é

$$A(\xi) = q \eta \xi \bar{\eta}$$

onde na direta todos os produtos são multiplicações de quartênios.

O produto de duas matrizes D e A do $SO(4)$ com $D \longleftrightarrow (p, \theta)$ e $A \longleftrightarrow (q, \eta)$ corresponde ao seguinte produto em $S^3 \times SO(3)$

$$DA \longleftrightarrow (p \theta q \bar{\theta}, \theta \eta) .$$

(Veja por exemplo [R₂]). I.é., a primeira matriz atua linearmente na 1^a coluna da segunda matriz e o subgrupo $SO(3)$ é normal.

Segue da construção de \tilde{P}_n que existe uma ação livre de $SO(4)$ sobre o $\tilde{P}_{n/\mathbb{Z}_2}$ com quociente S^4 , para todo $n \geq 2$ (veja também [R₂]).

Primeiro nós analisamos o caso de \tilde{P}_3 .

Consideremos o $\mathbb{Z}_2 = \{-1, 1\}$ atuando na última coluna de \tilde{P}_3 e seja P'_3 o quociente. Definimos uma ação de $SO(4)$ pela direita sobre o P'_3 pela fórmula

$$\left[\begin{array}{ccc} a & -b|b|^2 & x_1 \\ b & \bar{b}a & x_2 \\ 0 & a\sqrt{1+|b|^2} & x_3 \end{array} \right] * (p, \theta) = \left[\begin{array}{ccc} \bar{\theta}ap\theta & \bar{\theta}(-b|b|^2)p\theta & \bar{\theta}x_1 \\ \bar{\theta}bp\theta & \bar{\theta}(\bar{b}a)p\theta & \bar{\theta}x_2 \\ 0 & \bar{\theta}(a\sqrt{1+|b|^2})p\theta & \bar{\theta}x_3 \end{array} \right]$$

Os colchetes indicam que a última coluna é um elemento de $\mathbb{R}P^2$.

Em outras palavras, nós multiplicamos cada elemento das duas primeiras colunas pela matriz real 4×4 (p, θ) , à direita, e todo elemento da última coluna por $\bar{\theta}$, à esquerda. O θ não é bem definido mas sim a classe $\{-\theta, \theta\}$. Porém, não existe ambiguidade pois a última coluna é também um quociente de \mathbb{Z}_2 .

PROPOSIÇÃO 14. Essa é uma ação livre de $SO(4)$ em P'_3 com quociente S^4 .

DEMONSTRAÇÃO. Primeiro provamos que é ação $(p, \theta)(q, \eta) = (p\theta q\bar{\theta}, \theta\eta)$ e para um elemento ξ da primeira ou segunda coluna temos:

$$(\bar{\theta}\xi p\theta) * (q, \eta) = \bar{\eta}\bar{\theta}\xi p\theta q\eta \quad \text{e também}$$

$$\xi * (p\theta q\bar{\theta}, \theta\eta) = \bar{\eta}\bar{\theta}\xi p\theta q\bar{\theta}\theta\eta = \bar{\eta}\bar{\theta}\xi p\theta q\eta .$$

Em seguida observamos que \tilde{e} é livre:

Se o elemento $(p, 0)$ fixa a matriz

$$\begin{bmatrix} a & -b|b|^2 & x_1 \\ b & \bar{b}a & x_2 \\ 0 & a\sqrt{1+|b|^2} & x_3 \end{bmatrix}, \text{ segue primeiro que } \theta \tilde{e} \text{ } 1$$

(ou -1) pois pelo menos um dos x_1, x_2, x_3 é diferente de zero. Põe $\theta = 1$ ou -1 na primeira coluna agora e como a ou b é $\neq 0$ temos que $p = 1$. I.é., $(p, 0) = (1, 1)$ em $S^3 \times SO(3)$.

Antes de provar que o quociente $M^4 = P'_3/SO(4)$ é difeomorfo com o S^4 observamos que é imediato da sequência exata da fibração

$$SO(4) \dots P'_3 \longrightarrow M^4$$

que o quociente M^4 tem a mesma homologia com o S^4 .

Considere a seguinte aplicação $f : M^4 \longrightarrow S^4$

$$\text{Órbita de } \begin{bmatrix} a & -b|b|^2 & x_1 \\ b & \bar{b}a & x_2 \\ 0 & a\sqrt{1+|b|^2} & x_3 \end{bmatrix} \longmapsto$$

$$(6^3 5^{-5/2} x_3 abx_3, +(1 - 6^6 5^{-5} |a|^2 |b|^{10})^{1/2})$$

com sinal "+" quando $|a| \leq 1/\sqrt{6}$ e o sinal "-" quando $|a| \geq 1/\sqrt{6}$.

A aplicação f é bem definida pois o $\bar{x}_3 a \bar{b} x_3$ é invariante e tem imagem o S^4 como segue de uma discussão similar a análise da aplicação de Hopf no §1:

A variedade M^4 é a união de dois conjuntos $U \cup V$ com $\bar{U} := \{|a| \leq 1/\sqrt{6}\}$ e $\bar{V} := \{|a| \geq 1/\sqrt{6}\}$. O comprimento de x_3 é $|x_3| = |b|^2$ como consequência da unicidade da 3ª linha da matriz e

$$|\bar{x}_3 a \bar{b} x_3| \leq 5^5 6^{-6} \quad \text{para } |a| \leq 1/\sqrt{6}$$

$$|\bar{x}_3 a \bar{b} x_3| \geq 5^5 6^{-6} \quad \text{para } |a| \geq 1/\sqrt{6}$$

com igualdade, em ambos os casos, quando $|a| = 1/\sqrt{6}$.

Portanto M^4 é a união de dois 4-discos fechados, colados pela identidade ao longo do seu bordo, e conseqüentemente M^4 é difeomorfo a S^4 . Q.E.D.

Observe agora que a mesma construção pode ser aplicada aos espaços \tilde{P}_n (i.e., primeiro a ação de \mathbb{Z}_2 na última coluna e depois $SO(4)$ -multiplicação em cada elemento das primeiras $n-1$ colunas e S^3 -multiplicação em cada elemento da última coluna) para obter $SO(4)$ -fibrados principais sobre S^4 .

Proposições análogas com a Proposição 14 garantem que o quociente é de fato difeomorfo com o S^4 .

PROPOSIÇÃO 15. O fibrado

$$SO(4) \dots P'_n \longrightarrow S^4$$

com ação definida por

$$\xi * (p, 0) := \bar{0}\xi p 0$$

para todas as entradas das $n-1$ primeiras colunas e

$$(\pm x)(p, 0) := \pm \bar{\theta} x$$

para todas as entradas da última coluna, é o fibrado $SO(4)$ -principal

$$SO(4) \dots P_{1, n-1} \longrightarrow S^4 .$$

DEMONSTRAÇÃO. (Notações e convenções são as mesmas com $[R_2]$). Segue do Diagrama 4 que $\tilde{i}_\# : \pi_3(\tilde{P}_n) \longrightarrow \pi_3 Sp(n) = \mathbb{Z}$ é um isomorfismo e que a inclusão de S^3 em \tilde{P}_n como qualquer um dos elementos da diagonal principal induz um isomorfismo em nível de π_3 . Da identificação

$$SO(4) \cong S^3 \times SO(3)$$

acima, temos que $\pi_3 SO(4) = \mathbb{Z} \oplus \mathbb{Z}$ gerado por $(1, 0)$ e $(0, 1)$, onde $(1, 0)$ corresponde ao fator S^3 , i.é., a p -componente, e $(0, 1)$ corresponde ao fator $SO(3)$, i.é., a θ -componente.

Conseqüentemente, a inclusão de uma $SO(4)$ -órbita em P'_n induz a seguinte aplicação entre π_3 :

$$(1,0) \longrightarrow n-1$$

$$(0,1) \longrightarrow -1$$

i.e., $(a,b) \longrightarrow 2a - b$ em \mathbb{Z} .

Por exemplo, no caso de $n = 3$ a inclusão da $SO(4)$ -órbita que passa pelo elemento

$$\begin{bmatrix} 1 & 0 & 0 \\ 0 & 0 & +1 \\ 0 & 1 & 0 \end{bmatrix} \quad \bar{e} \quad \begin{bmatrix} \bar{\theta}p_0 & 0 & 0 \\ 0 & 0 & +\bar{\theta} \\ 0 & \bar{\theta}p_0 & 0 \end{bmatrix} .$$

Essa última aplicação é homotópica à

$$\begin{bmatrix} \bar{\theta}p_0 & 0 & 0 \\ 0 & +\bar{\theta} & 0 \\ 0 & 0 & \bar{\theta}p_0 \end{bmatrix} \quad \text{com } [p] \longrightarrow 2 \quad \text{e} \quad [0] \longrightarrow -1 ,$$

pois $\bar{\theta}$ é a inversa de θ .

A parte relevante da sequência de homotopia de $SO(4) \dots$

$$\tilde{P}_n \longrightarrow S^4 \quad \bar{e}$$

$$\pi_4 S^4 \xrightarrow{\partial} \pi_3 SO(4) \xrightarrow{i_{\#}} \pi_3 P'_n \longrightarrow 0 = \pi_3 S^4$$

e $\text{im } \partial = \ker i_{\#}$. Segue então que $\ker i_{\#}$ é gerado por $(1, n-1)$ ou $(-1, -(n-1))$, com $\partial(1) = (1, n-1)$ ou $(-1, -n+1)$. Mas é essencialmente a aplicação classificante, em nível de homotopia, para os fibrados

$$SO(4) \cdot P_{m,n} \longrightarrow S^4 \text{ e conseqüentemente}$$

$$P'_3 \cong P_{1,2} \text{ e } P'_n \cong P_{1,n-1} \cdot \text{ Q.E.D.}$$

O seguinte teorema de Eells e Kuiper (veja [E-K] onde as convenções e notações usadas são um pouco diferentes) estuda a estrutura diferencial de alguns fibrados associados aos $P_{m,n}$.

TEOREMA E-K. O fibrado S^3 -associado ao $P_{m,n}$ tem o seu espaço total

$$P_{m,n} \times_{SO(4)} S^3$$

homeomorfo a esfera S^7 , se e só se $m = 1$.

A sua estrutura diferencial é exótica se e só se $n(n+1)$ não é múltiplo de 56. O número $n(n+1) \bmod 56$ fornece uma classificação completa das estruturas diferenciáveis da 7-esfera que aparecem como espaços totais de S^3 -fibrados sobre S^4 com grupo estrutural $SO(4)$. Elas são apenas 16 das possíveis 28 tais estruturas diferenciáveis.

D. Gromoll e W. Meyer no seu trabalho [G-M] construíram uma esfera exótica S^7 como o quociente livre de $Sp(2)$ por $SP(1)$. Em [R₂] essa ação livre foi examinada do ponto de vista de $SO(4)$ -fibrados principais sobre S^4 . Agora nos generalizamos este resultado para incluir todas as 16 estruturas diferenciáveis em S^7 , descritas pelo Teorema de Eells e Kuiper acima.

LEMA 16. Se S^3 atua em \tilde{P}_{k+1} por

$$q * \xi := \bar{q}\xi q$$

para todo elemento das primeiras k colunas e por

$$q * x := \bar{q}x$$

para todo elemento da última coluna, então, o quociente \tilde{P}_{k+1}/S^3 é difeomorfo ao $P'_{k+1} \times_{SO(4)} S^3$, onde o $SO(4)$ atua em S^3 por

$$(p, \theta) * q := \bar{\theta} \bar{p} q \theta .$$

DEMONSTRAÇÃO. Seja (A, X) um elemento de \tilde{P}_{k+1} onde A é qualquer coluna exceto a última, e X é a última coluna. Se q é um elemento de S^3 , denotamos por Aq a coluna com entradas qa_i , onde a_i são as entradas de A . Similarmente com $\bar{q}Aq$, $\bar{q}x$, etc..

As seguintes aplicações são diferenciáveis e inversas entre si:

$$\phi : P'_{k+1} \times_{SO(4)} S^3 \longrightarrow \tilde{P}_{k+1}/S^3$$

com $\phi[(A, X), q] := [(Aq, X)]$ e

$$\psi : \tilde{P}_{k+1}/S^3 \longrightarrow P'_{k+1} \times_{SO(4)} S^3$$

com $\psi[(A, X)] := \{(A, X), 1\}$

onde $[\]$ resp. $\{ \}$ denotem as classes em \tilde{P}_{k+1}/S^3 resp. em $P'_{k+1} \times_{SO(4)} S^3$.

Observe que a aplicação ϕ é bem definida pois $\{(A, X), q\} = \{(\bar{\theta}Aq\bar{\theta}, \bar{\theta}X\bar{\theta}), \bar{\theta}p\bar{\theta}q\}$ que vai através de ϕ ao elemento

$$[(\bar{\theta}Aq\bar{\theta}, \bar{\theta}X)] = [(Aq, X)] \equiv \phi\{(A, X), q\}.$$

Similariamente, $[A, X] = [(\bar{\theta}A\bar{\theta}, \bar{\theta}X)]$ que vai através de ψ ao elemento

$$\{(\bar{\theta}A\bar{\theta}, \bar{\theta}X), 1\} = \{(A, X), 1\} \equiv \psi[(A, X)].$$

Finalmente, $\psi \circ \phi\{(A, X), q\} = \psi[(Aq, X)] = \{(Aq, X), 1\} = \{(A, X), q\}$ e $\phi \circ \psi[(A, X)] = \phi\{(A, X), 1\} = [(A, X)]$. Q.E.D.

Observamos que esse lema é essencialmente a correspondência entre $SO(4)$ -fibrados principais e $Spin(4)$ -fibrados principais sobre o S^4 . Veja por exemplo [D - R].

O Teorema E-K junto com o Lema 16 e o Teorema 8 (classificação dos P_n), implicam que alguns S^3 -fibrados sobre cada uma das esferas Σ^7 de Eells e Kuiper tem a estrutura diferenciável usual. I.e., o seu espaço total é difeomorfo ao espaço total do correspondente S^3 -fibrado principal sobre S^7 . Em outras palavras, existem ações exóticas livres, de S^3 em $E_0 = S^7 \times S^3$, $E_1 \approx Sp(2), \dots$ e em E_{11} com quociente esferas Σ^7 com estrutura diferenciável diferente da usual. Antes de esclarecer a contabilidade nós comentamos que essa observação não é consequência so do nosso tipo de argumento: O anulamento, por exemplo, do grupo $L_{11}(0) = L_3(0)$ (veja [W]) implica que para todas as estruturas diferenciáveis Σ^7 nos tempos $\Sigma^7 \times S^3$ é difeomorfo a $S^7 \times S^3$ que implica a existência de ações livres $S^3 \dots S^7 \times S^3 \longrightarrow \Sigma^7$ para todo Σ^7 . Nós devemos essa observação à R. Schultz. Porém, no nosso caso, as ações de S^3 são explicitamente dadas e os difeomorfismos entre alguns $\Sigma^7 \times S^3$ e $S^7 \times S^3$ não são muito complicados. Consequentemente, algumas destas ações exóticas do S^3 podem ser escritas de maneira explícita. Veja §4.

Pelo Teorema E-K nós temos que as estruturas diferenciáveis Σ^7 que aparecem como espaços totais de S^3 -fibrados sobre S^4 com grupo $SO(4)$ são aqueles com

$$i = 0, 2, 6, 12, 14, 16, 20, 26, 28, 30, 34, 40, 42, 44, 48, 54.$$

COROLÁRIO 17. Existem ações livres de S^3 em $S^7 \times S^3$ com quociente cada uma das seguintes Σ^7 [i] : $i = 0, 12, 16, 20, 28, 40, 44, 48$.

DEMONSTRAÇÃO. Pelo Teorema 8 a variedade $E_0 \cong S^7 \times S^3$ é difeomorfa a \tilde{P}_{12k+1} para todo k e pelo Lema 16 temos que \tilde{P}_{12k+1}/S^3 é difeomorfo a $\Sigma_{[12k(12k+1)]}^7$. O número $12k(12k+1)$ é divisível por 4 e o seu resíduo mod 56 é também divisível por 4. Então, os possíveis candidatos são as esferas com os índices $0, 12, 16, 20, 28, 40, 44, 48$. Realmente, todas as possibilidades ocorrem, cada uma por um número infinito de valores de k . Por exemplo:

Valor de k		Índice da esfera obtida
1	—————→	44
2	—————→	40
4	—————→	0
5	—————→	20
7	—————→	28
8	—————→	16
9	—————→	12
20	—————→	48

Q.E.D.

COROLÁRIO 18. Existem ações livres de S^3 em $Sp(2)$ com quociente cada uma das estruturas diferenciáveis $\Sigma_{|j|}^7$ com $j = 0, 2, 6, 14, 26, 30, 34, 42, 54$.

DEMONSTRAÇÃO. A variedade $E_1 \cong Sp(2)$ é difeomorfa a \tilde{P}_{12k+2} pelo Teorema 8, para todo k . Pelo mesmo argumento da demonstração do Corolário 17 temos a existência de ações livres de S^3 em

$Sp(2)$ com quociente $\frac{S^7}{|(12k+1)(12k+2)|}$. O produto $1 \cdot 2 = 2$ é divisível por 2, mas não por 4, e então os únicos possíveis índices são $0, 2, 6, 14, 26, 30, 34, 42, 54$. Uma rápida verificação implica de novo que todas as possibilidades ocorrem, cada uma por um número infinito de valores de k . Por exemplo:

Valor de k		Índice da esfera obtida
0	————→	2
1	————→	14
2	————→	34
3	————→	6
4	————→	42
5	————→	30
6	————→	26
13	————→	54

como \tilde{P}_{12k+2} é difeomorfo a $Sp(2)$, a ação livre com resultado S^7 (índice zero) existe. Porém, o número k que resulta a essa ação é bastante grande. Q.E.D.

Para cada um dos restantes E_i 's o raciocínio é o mesmo. O E_i é difeomorfo ao $\tilde{P}_{12k+i-1}$, $k = 1, 2, \dots$, e os quocientes das S^3 ações sobre E_i são um dos dois conjuntos de estruturas diferenciáveis em S^7 . Aquela um com índices $\{0, 12, 16, 20, 40, 44\}$ no caso que $i(i+1)$ é divisível por 4 ou o conjunto com índices $\{0, 2, 6, 14, 26, 30, 34, 42, 54\}$ se $i(i+1)$ não é divisível por 4. I.e.,

COROLÁRIO 19. Existem ações livres de S^3 em cada um dos E_2, E_5, E_6, E_9 e E_{10} com quociente cada uma das $X_{[i]}^7$, $i = 0, 2, 6, 14, 26, 30, 34, 42$ e 54 . Analogamente, existem ações livres de S^3 em cada um dos $E_3, E_4, E_7, E_8, E_{11}$ com quociente cada uma das $X_{[j]}^7$; $j = 0, 12, 16, 20, 40, 44$ e 48 .

DEMONSTRAÇÃO. Foi feita acima. Q.E.D.

Observamos que para as esferas do primeiro grupo, $i(i+1)$ não divisível por 4, o valor de k que resulta na estrutura comum $X_{[0]}^7 = S^7$, deve ser bastante alto como as nossas contas elementares indicam.

Para completar essa secção, descrevemos explicitamente mais alguns fibrados $SO(4)$ -principais sobre S^4 usando os \tilde{P}_i 's. O problema de descrever todos eles continua pelo que sabemos em aberto. (Ver também [S], §26.6), [J-W] e [T]).

Com as notações do Lema 16, a ação de $SO(4)$ em $\tilde{P}_{n+1}/\mathbb{Z}_2$, onde \mathbb{Z}_2 atua na parte A do \tilde{P}_{n+1} , definida por

$$(p, 0) \times (A, X) := (0A, 0X \bar{\theta} \bar{p})$$

é livre, e tem quociente S^4 com projeção: $(2\bar{a}\bar{b}, \bar{a}\bar{a} - \bar{b}\bar{b})$.

Para classificar esse fibrado, observe que a inclusão i de uma $SO(4)$ -órbita induz a seguinte aplicação em nível de π_3 :

$$i_{\#} : \mathbb{Z} + \mathbb{Z} \longrightarrow \mathbb{Z}$$

$$i_{\#}(1,0) = -1 \quad e$$

$$i_{\#}(0,1) = n-1.$$

Portanto, a imagem da aplicação classificante

$$\tilde{\alpha} : \pi_4 S^4 \longrightarrow \pi_3 SO(4)$$

é gerada por $(n-1,1)$. Então, temos o

COROLÁRIO 20. O $\tilde{P}_{n/\mathbb{Z}_2}$ com a ação de $SO(4)$ descrita acima é o fibrado $P_{n-1,1}$ sobre o S^4 .

DEMONSTRAÇÃO. Feita acima. Q.E.D.

COROLÁRIO 21. Os fibrados $P_{n,0}$ tem espaços totais $P_n \times_{S^3} SO(4)$ onde S^3 atua em $SO(4)$. Como

$$q * (p,0) := (qp,0)$$

e $SO(4)$ atua pela direta no quociente de maneira óbvia.

DEMONSTRAÇÃO. Ver $[R_2]$. Q.E.D.

COROLÁRIO 22. Os fibrados $P_{0,n}$ tem espaços totais $(P_{n/\mathbb{Z}_2}) \times_{SO(3)} SO(4)$. onde \mathbb{Z}_2 atua na última coluna de P_n e $SO(3)$ atua em $SO(4)$ por $\{\eta, -\eta\} * (p, \theta) := (p, \eta\theta)$ i.e., como subgrupo.

DEMONSTRAÇÃO. Ver $[R_2]$. Q.E.D.

COROLÁRIO 23. Os fibrados $\tilde{P}_{1,-n}$ são obtidos de $\tilde{P}_{n/\mathbb{Z}_2}$ (\mathbb{Z}_2 atua na última coluna por

$$(p, \theta) * (A, X) := (p\theta A\bar{\theta}, p\theta X).$$

DEMONSTRAÇÃO. Da mesma linha que a demonstração do corolário 20.

Q.E.D.

§4. UMA TRIVIALIZAÇÃO DE \tilde{P}_{13}

Nesta secção produzimos um difeomorfismo entre \tilde{P}_{13} e $S^7 \times S^3$ e traduzimos a ação livre de S^3 sobre o \tilde{P}_{13} , descrita em detalhe na §3, como quociente $\Sigma_{[44]}^7$, em uma ação livre de S^3 sobre o produto $S^7 \times S^3$ com quociente $\Sigma_{[44]}^7$. Como consequência nós obtemos um número infinito de ações livres exóticas de S^3 sobre $S^7 \times S^3$ com quocientes cada uma das $\Sigma_{[i]}^7$, $i = 12, 16, 20, 40, 44$ e 48 .

Pelo método de construção dos \tilde{P}_n 's da §2, temos que os elementos de \tilde{P}_{13} são as matrizes de $SP(13)$ que tem a seguinte forma:

$$\begin{pmatrix} a & -b|b^2|L^1 & 0 & 0 & \dots & 0 & z_1 \\ b & b\bar{a}bL^{-1} & 0 & 0 & \dots & 0 & z_2 \\ 0 & af_8L^{-1} & -bL_9^{-1} & 0 & \dots & 0 & z_3 \\ 0 & (a\bar{b})af_7L^{-1} & af_7L_9^{-1} & -bL_8^{-1} & \dots & 0 & z_4 \\ 0 & (a\bar{b})^2af_6L^{-1} & (a\bar{b})af_6L_9^{-1} & af_6L_8^{-1} & \dots & 0 & z_5 \\ \vdots & \vdots & \vdots & \vdots & \vdots & \vdots & \vdots \\ 0 & (a\bar{b})^9a|a|^2L^{-1} & (a\bar{b})^8a|a|^2L_9^{-1} & (a\bar{b})^7a|a|^2L_8^{-1} & \dots & -b & z_{12} \\ 0 & (a\bar{b})^{10}aL^{-1} & (a\bar{b})^9aL_9^{-1} & (a\bar{b})^8aL_8^{-1} & \dots & a & z_{13} \end{pmatrix}$$

Elemento de \tilde{P}_{13} .

A projeção sobre o S^7 é a sua primeira coluna e a ação livre de S^3 é pela direita na última coluna.

Para examinar o \tilde{P}_{13} dividimos o S^7 na seguinte maneira:

$$S^7 = U \cup V \quad \text{onde}$$

$$U := \left\{ \begin{pmatrix} a \\ b \end{pmatrix} \text{ em } S^7 \mid a \neq 0 \right\} \quad e$$

$$V := \left\{ \begin{pmatrix} a \\ b \end{pmatrix} \text{ em } S^7 \mid b \neq 0 \right\} .$$

LEMA 24. O conjunto $U \cap V$ é difeomorfo à $S^3 \times S^3 \times (0, \pi/2)$.

DEMONSTRAÇÃO. Considere as seguintes duas aplicações que são obviamente C^∞

$$\alpha : U \cap V \longrightarrow S^3 \times S^3 \times (0, \pi/2)$$

definida por

$$\alpha \left(\begin{pmatrix} a \\ b \end{pmatrix} \right) := (a|a|^{-1}, \quad b|b|^{-1}, \quad \cos^{-1}|a|)$$

$$\beta : S^3 \times S^3 \times (0, \pi/2) \longrightarrow U \cap V$$

definida por

$$\beta \begin{pmatrix} a \\ b \end{pmatrix} := ((A, B), 0) := \begin{pmatrix} \cos \theta & A \\ \cos \theta & B \end{pmatrix} .$$

Como $\sin(\cos^{-1}|a|) = b$ temos que $\alpha \circ \beta$ e $\beta \circ \alpha$ são a identidade. Q.E.D.

Construimos agora uma secção sobre U resolvendo o seguinte sistema de treze equações lineares

$$(S) = \begin{cases} \overline{(\text{Col}_i)} (\text{Col}_{13}) = 0 & , \quad i = 1, 2, \dots, 12 \\ |\text{Linha}_j| = 1 & , \quad \text{para um } j \text{ conveniente} \\ \text{com } 1 \leq j \leq 13. \end{cases}$$

SOLUÇÃO DO SISTEMA (S) EM $U = \{a \neq 0\}$.

$$(1) \bar{a}z_1 + \bar{b}z_2 = 0 \implies z_1 = -\bar{a}\bar{b}|a|^{-2} z_2$$

$$(2) -\bar{b}z_{12} + \bar{a}z_{13} = 0 \implies z_{13} = \bar{a}\bar{b}|a|^{-2} z_{12}$$

\vdots

$$(11) -\bar{b}z_3 + \bar{a}f_7 z_4 + \overline{(a\bar{b})} a f_6 z_5 + \dots + \overline{(a\bar{b})^6} a f_1 z_{10} + \overline{(a\bar{b})^7} a |a|^4 z_{11} + \overline{(a\bar{b})^8} a |a|^2 z_{12} + \overline{(a\bar{b})^9} a z_{13} = 0$$

$$(12) -\bar{b}|b|^2 z_1 + \bar{b}a\bar{b} z_2 + \bar{a}f_8 z_3 + \overline{(a\bar{b})} a f_7 z_4 + \dots + \overline{(a\bar{b})^7} a f_1 z_{10} + \overline{(a\bar{b})^8} a |a|^4 z_{11} + \overline{(a\bar{b})^9} a |a|^2 z_{12} + \overline{(a\bar{b})^{10}} a z_{13} = 0$$

$$(13) |b|^2 + |b|^4 |a|^2 L^{-2} + |z_2|^2 = 1$$

Primeiro resolvemos (2) e substituímos em (3). Depois resolvemos (3) e substituímos em (4), etc., até em fim temos z_4, z_5, \dots, z_{13} como funções de z_3 :

$$z_4 = a\bar{b}|a|^{-2} L_8^{-2} z_3$$

$$z_5 = (a\bar{b})^2 |a|^{-4} L_8^{-2} z_3$$

$$z_6 = (a\bar{b})^3 |a|^{-6} (L_6 L_7 L_8)^{-2} z_3$$

⋮

$$z_{12} = (a\bar{b})^9 |a|^{-18} (L_1 \dots L_8)^{-2} z_3$$

$$z_{13} = (a\bar{b})^{10} |a|^{-20} (L_1 \dots L_8)^{-2} z_3$$

Substituímos todas essas equações, junto com a

$$z_1 = -a\bar{b}|a|^{-2} z_2$$

na equação (12) e obtemos

$$z_3 = -(a\bar{b})^2 |a|^{-4} L_9^{-2} z_2$$

$$z_4 = -(a\bar{b})^3 |a|^{-6} (L_8 L_9)^{-2} z_2$$

⋮

$$z_{11} = -(a\bar{b})^{10} |a|^{-20} (L_1 \dots L_9)^{-2} z_2$$

$$z_{12} = -(a\bar{b})^{11} |a|^{-22} (L_1 \dots L_9)^{-2} z_2$$

$$z_{13} = -(a\bar{b})^{12} |a|^{-24} (L_1 \dots L_9)^{-2} z_2 .$$

Da equação (13) nós temos que

$$|z_2|^2 = |a|^2(1 - |b|^4 L^{-2})$$

e da *Proposição 12* temos que

$$|z_2|^2 = |a|^2 f_9 L^{-2} .$$

Mas da mesma *Proposição 12*

$$f_9 = |a|^{22} (L_1 \dots L_9)^2 .$$

Então,

$$z_2 = |a|^{12} (L_1 \dots L_9) L^{-1}$$

Escolhemos agora o seguinte valor para z_2 :

$$z_2 := - \bar{a}^{12} (L_1 \dots L_9) L^{-1}$$

Este valor foi escolhido de tal maneira que a função transição , a ser determinada mais para frente, pode ser fatotizada por S^6 .

Substituindo esse valor de z_2 nas equações acima, nós obtemos a seguinte secção

$$X : U \times S^3 \longrightarrow \bar{p}_{13}$$

$$\left(\begin{pmatrix} a \\ b \end{pmatrix}, g \right) \longrightarrow X \left(\begin{pmatrix} a \\ b \end{pmatrix}, g \right)$$

cujas coordenadas x_i , $i = 1, \dots, 13$ da última coluna são

$$x_1 = (a\bar{b})\bar{a}^{-12} |a|^{-2} L_1 \dots L_9 L^{-1}g$$

$$x_2 = -\bar{a}^{-12} L_1 \dots L^9 L^{-1}g$$

$$x_3 = (a\bar{b})^2 \bar{a}^{-12} |a|^{-4} L_1 \dots L_8 (L_9 L)^{-1}g$$

$$x_4 = (a\bar{b})^3 \bar{a}^{-12} |a|^{-6} L_1 \dots L_7 (L_8 L_9 L)^{-1}g$$

⋮
⋮
⋮

$$x_{11} = (a\bar{b})^{10} \bar{a}^{-12} |a|^{-20} (L_1 \dots L_9 L)^{-1}g$$

$$x_{12} = (a\bar{b})^{11} \bar{a}^{-12} |a|^{-22} (L_1 \dots L_9 L)^{-1}g$$

$$x_{13} = (a\bar{b})^{12} \bar{a}^{-12} |a|^{-24} (L_1 \dots L_9 L)^{-1}g$$

Para obter uma secção Y sobre $V = \{b \neq 0\}$ temos que resolver o mesmo sistema (S), com a possibilidade de dividir por b , (em vez de a):

SOLUÇÃO DO SISTEMA (S) EM $V = \{b \neq 0\}$

$$(1) \implies z_2 = -b\bar{a}|b|^{-2} z_1$$

$$(2) \implies z_{12} = b\bar{a}|b|^{-2} z_{13}$$

Substituindo em (3), etc.,

$$z_{11} = (\bar{b}a)^2 |b|^{-4} z_{13}$$

$$z_{10} = (\bar{b}a)^3 |b|^{-6} L_1^2 z_{13}$$

$$z_9 = (\bar{b}a)^4 |b|^{-8} (L_1 L_2)^2 z_{13}$$

⋮

$$z_3 = (\bar{b}a)^{10} |b|^{-20} (L_1 \dots L_8)^2 z_{13}$$

Agora substituímos tudo isso em (12):

$$z_1 = (\bar{b}a)^{11} |b|^{-22} (L_1 \dots L_9)^2 z_{13} \quad e$$

$$z_2 = -(\bar{b}a)^{12} |b|^{-24} (L_1 \dots L_9)^2 z_{13} .$$

É mais fácil obter o comprimento de z_{13} da última coordenada da secção X, de que calculá-lo diretamente da matriz \tilde{P}_{13} .

$$|z_{13}| = |b|^{12} (L_1 \dots L_9 L)^{-1} .$$

Escolhemos agora um valor para z_{13} de tal maneira que a função de transição se fatoriza por S^6 .

$$z_{13} := \bar{b}^{12} (L_1 \dots L_9 L)^{-1}$$

e substituindo nas equações acima temos a secção

$$Y : V \times S^3 \longrightarrow \tilde{P}_{13}$$

$$\left(\begin{pmatrix} a \\ b \end{pmatrix}, q \right) \longrightarrow Y \left(\begin{pmatrix} a \\ b \end{pmatrix}, q \right)$$

cujas coordenadas da última coluna são:

$$y_1 = (b\bar{a})^{11} \bar{b}^{12} |b|^{-22} (L_1 \dots L_9) \bar{L}^{-1} q$$

$$y_2 = -(b\bar{a})^{12} \bar{b}^{12} |b|^{-24} (L_1 \dots L_9) L^{-1} q$$

$$y_3 = (b\bar{a})^{10} \bar{b}^{12} |b|^{-20} (L_1 \dots L_8) (L_9 L)^{-1} q$$

$$\vdots$$

$$\vdots$$

$$y_{11} = (b\bar{a})^2 \bar{b}^{12} |b|^{-4} (L_1 \dots L_9 L)^{-1} q$$

$$y_{12} = (b\bar{a}) \bar{b}^{12} |b|^{-2} (L_1 \dots L_9 L)^{-1} q$$

$$y_{13} = \bar{b}^{12} (L_1 \dots L_9 L)^{-1} q$$

COROLÁRIO 25: A função transição

$$\lambda_{UV} : U \cap V \longrightarrow S^3$$

entre as duas secções parciais X e Y é

$$\lambda_{UV} \left(\begin{pmatrix} a \\ b \end{pmatrix} \right) = a^{12} (b\bar{a})^{12} \bar{b}^{12} |a|^{-24} |b|^{-24} .$$

DEMONSTRAÇÃO. Só verificar que igualando qualquer um par de coordenadas

$$x_i = y_i \quad , \quad i = 1, \dots, 13$$

e resolvendo por g teremos

$$g = \lambda_{UV} \begin{pmatrix} a \\ b \end{pmatrix} q$$

com o valor de λ_{UV} escrito acima. Q.E.D.

Se $\beta : S^3 \times S^3 \times (0, \pi/2) \longrightarrow U \cap V$ é a aplicação definida na demonstração do Lema 24, temos

LEMA 25. $\lambda_{UV} \circ \beta$ não depende da coordenada θ em $(0, \pi/2)$ e existe aplicação

$$\lambda : S^6 \longrightarrow S^3 \quad \text{com} \quad \lambda \circ c = \lambda_{UV} \circ \beta$$

onde c é a projeção contínua de $S^3 \times S^3$ sobre o S^6 .

DEMONSTRAÇÃO. Obviamente,

$$\lambda_{UV} \circ \beta((A, B), \theta) = A^{12} (\overline{B\bar{A}})^{12} \overline{B}^{12}$$

e isso não depende de θ . Podemos então definir

$$\lambda_{UV} \circ \beta : S^3 \times S^3 \longrightarrow S^3 .$$

A projeção $c : S^3 \times S^3 \longrightarrow S^6$, onde S^6 é o equador de S^7 , é definida identificando $1 \times S^3$ e $S^3 \times 1$ a um ponto (o mesmo nos dois casos) que colocamos como ponto base do S^6 . A existência de λ que faz o diagrama

$$\begin{array}{ccc}
 S^3 \times S^3 & \xrightarrow{\quad} & S^3 \\
 \searrow c & \lambda_{UV} \circ F & \nearrow \lambda \\
 & S^6 &
 \end{array}$$

comutar é, agora óbvia pelo seguinte:

$$\lambda_{UV} \circ F(A, 1) = \lambda_{UV} \circ F(1, A) = 1. \quad \text{Q.E.D.}$$

COROLÁRIO 26. Existe homotopia C^∞

$$F : S^3 \times S^3 \times [0, \pi/2] \longrightarrow S^3$$

com $F_0 = \lambda_{UV} \circ F$ e $F_{\pi/2} = 1$.

DEMONSTRAÇÃO. Como \tilde{P}_{13} é trivial e S^6 é o equador de S^7 (i.e., $S^6 = \Omega S^7$), Lema 25 implica que $\Sigma\lambda$, a suspensão de λ é a aplicação classificante de \tilde{P}_{13} , e deve ser trivial, i.e., λ é homotópica a aplicação constante:

Existe homotopia

$$\bar{F} : S^6 \times [0, \pi/2] \longrightarrow S^3$$

com $\bar{F}_0(c(\begin{smallmatrix} a \\ b \end{smallmatrix})) = 1$ e

$$\bar{F}_{\pi/2}(c(\begin{smallmatrix} a \\ b \end{smallmatrix})) = \lambda(c(\begin{smallmatrix} a \\ b \end{smallmatrix})) = \lambda_{UV} \circ \pi(\begin{smallmatrix} a \\ b \end{smallmatrix}).$$

Esta homotopia pode ser levantada de maneira óbvia a uma F :

$$\begin{array}{ccc}
 F : S^3 \times S^3 \times [0, \pi/2] & \xrightarrow{\quad} & S^3 \\
 \downarrow c \times \text{id} & \nearrow \bar{F} & \\
 S^6 \times [0, \pi/2] & &
 \end{array}$$

Podemos também supor que F é C^∞ com

$$F_\theta(\begin{smallmatrix} a \\ b \end{smallmatrix}) = 1 \text{ para todo } \theta \text{ em } [0, \frac{\pi}{6}] \text{ e}$$

$$F_\theta(\begin{smallmatrix} a \\ b \end{smallmatrix}) = a^{12} (\bar{b}a)^{12} b^{-12} |a|^{-24} |b|^{-24} \text{ para todo } \theta \text{ em } [\frac{\pi}{3}, \frac{\pi}{2}].$$

Q.E.D.

Observe agora que podemos colocar

$$\theta = \cos^{-1} |a| \text{ em } [0, \pi/2]$$

e obter $w(\begin{smallmatrix} a \\ b \end{smallmatrix})$ uma secção global de \hat{P}_{13} com a seguinte última coluna:

5576/1711 ECC

$$w_1 \begin{pmatrix} a \\ b \end{pmatrix} = (a\bar{b})\bar{a}^{-12}|a|^{-2}(L_1 \dots L_9)L^{-1} F_0 \begin{pmatrix} a \\ b \end{pmatrix}$$

$$w_2 \begin{pmatrix} a \\ b \end{pmatrix} = -\bar{a}^{-12}(L_1 \dots L_9)L^{-1} F_0 \begin{pmatrix} a \\ b \end{pmatrix}$$

$$\vdots$$

$$w_{13} \begin{pmatrix} a \\ b \end{pmatrix} = (a\bar{b})^{12}\bar{a}^{-12}|a|^{-24}(L_1 \dots L_9L)^{-1} F_0 \begin{pmatrix} a \\ b \end{pmatrix}.$$

COROLÁRIO 27. A aplicação $\phi : S^7 \times S^3 \longrightarrow \tilde{P}_{13}$ com

$$\phi \left(\begin{pmatrix} a \\ b \end{pmatrix}, h \right) := \begin{pmatrix} a & -b|b|^{-2}L^{-1} & 0 & 0 & w_1 \begin{pmatrix} a \\ b \end{pmatrix} h \\ b & \bar{b}\bar{a}L^{-1} & 0 & 0 & w_2 \begin{pmatrix} a \\ b \end{pmatrix} h \\ \vdots & \vdots & \vdots & \vdots & \vdots \\ \vdots & \vdots & \vdots & \vdots & \vdots \\ 0 & (a\bar{b})^{10}aL^{-1} & (a\bar{b})^9aL_9^{-1} & a & w_{13} \begin{pmatrix} a \\ b \end{pmatrix} h \end{pmatrix}$$

é um difeomorfismo entre $S^7 \times S^3$ e \tilde{P}_{13} , e a ação livre de S^3 em $S^7 \times S^3$ com quociente $\Sigma_{[44]}^7$ é

$$(*) \quad q * \left(\begin{pmatrix} a \\ b \end{pmatrix}, h \right) = \left(\begin{pmatrix} \bar{q}aq \\ \bar{q}bq \end{pmatrix}, \overline{F_0 \begin{pmatrix} \bar{q}aq \\ \bar{q}bq \end{pmatrix}} \bar{q}F_0 \begin{pmatrix} a \\ b \end{pmatrix}, h \right)$$

onde $\theta = \cos^{-1}|a|$ em $[0, \pi/2]$.

DEMONSTRAÇÃO. A aplicação ϕ é difeomorfismo pois é construída através da secção global de \tilde{P}_{13} descrita acima. A ação de S^3 em $S^7 \times S^3$ é o "pull-back" da ação de S^3 em \tilde{P}_{13} com quociente $\Sigma_{[44]}^7$ (conjugação $\xi \mapsto \bar{q}\xi q$ para as entradas das primeiras 12 colunas e multiplicação $\omega \mapsto \bar{q}\omega$ para as entradas da última coluna):

$$q * ((\begin{smallmatrix} a \\ b \end{smallmatrix}), h) := \phi^{-1}(q * \phi((\begin{smallmatrix} a \\ b \end{smallmatrix}), h))$$

com

$$q * (\phi(\begin{smallmatrix} a \\ b \end{smallmatrix}), h) = \begin{pmatrix} \bar{q}a q & \dots & \bar{q} w_1(\begin{smallmatrix} a \\ b \end{smallmatrix}) h \\ \bar{q}b q & \dots & \bar{q} w_2(\begin{smallmatrix} a \\ b \end{smallmatrix}) h \\ \vdots & & \vdots \\ 0 & & q w_{13}(\begin{smallmatrix} a \\ b \end{smallmatrix}) h \end{pmatrix}$$

onde $w_i(\begin{smallmatrix} a \\ b \end{smallmatrix})$ é a última coluna da secção global $w(\begin{smallmatrix} a \\ b \end{smallmatrix})$.

$$\text{Se } \phi(\begin{smallmatrix} c \\ d \end{smallmatrix}), g) = q * (\phi(\begin{smallmatrix} a \\ b \end{smallmatrix}), h) \text{ ,}$$

Como

$$\phi(\begin{smallmatrix} c \\ d \end{smallmatrix}), g) = \begin{pmatrix} c & \dots & w_1(\begin{smallmatrix} c \\ d \end{smallmatrix}) g \\ d & \dots & w_2(\begin{smallmatrix} c \\ d \end{smallmatrix}) g \\ \vdots & & \vdots \\ 0 & \dots & w_{13}(\begin{smallmatrix} c \\ d \end{smallmatrix}) g \end{pmatrix}$$

temos

$$c = \bar{q}a q \quad , \quad d = \bar{q}b q \quad e$$

$$w_i(\begin{smallmatrix} c \\ d \end{smallmatrix}) g = \bar{q} w_i(\begin{smallmatrix} a \\ b \end{smallmatrix}) h \quad , \quad i = 1, \dots, 12.$$

Resolvemos agora qualquer uma das

$$w_i \begin{pmatrix} \bar{q} a q \\ \bar{q} b q \end{pmatrix} g = \bar{q} w_i \begin{pmatrix} a \\ b \end{pmatrix} h$$

para o valor de g , observando que para algum i , $w_i \begin{pmatrix} a \\ b \end{pmatrix} \neq 0$.

Por exemplo, para $i = 1$ temos

$$\begin{aligned} (\bar{q} a q \bar{q} b q) (\bar{q} a q)^{12} |a|^{-2} (L_1 \dots L_9) L^{-1} F_0 \begin{pmatrix} \bar{q} a q \\ \bar{q} b q \end{pmatrix} g = \\ = \bar{q} (a \bar{b}) \bar{a}^{-12} |a|^{-2} (L_1 \dots L_9) L^{-1} F_\theta \begin{pmatrix} a \\ b \end{pmatrix} h \end{aligned}$$

ou

$$\bar{q} (a \bar{b}) \bar{a}^{-12} |a|^{-2} F_0 \begin{pmatrix} \bar{q} a q \\ \bar{q} b q \end{pmatrix} g = \bar{q} (a \bar{b}) \bar{a}^{-12} |a|^{-2} F_\theta \begin{pmatrix} a \\ b \end{pmatrix} h$$

Então,

$$g = \overline{\begin{pmatrix} \bar{q} a q \\ \bar{q} b q \end{pmatrix}} \bar{q} F_\theta \begin{pmatrix} a \\ b \end{pmatrix} h .$$

Q.E.D.

Obviamente a ação (*) do Corolário 27 é o modelo para um número infinito de ações livres de S^3 sobre $S^7 \times S^3$ com quocientes as esferas $\mathbb{E}_{|i|}^7$, $i = 12, 16, 20, 28, 40, 44$ e 48 , do corolário 17. A única coisa que muda é a potência de k na homotopia de

$a^{12k} (\bar{b}\bar{a})^{12k} \bar{b}^{-12k} |a|^{-24k} |b|^{-24k}$ é uma função constante. A correspondência entre k e $[i]$ é aquela mesma do Corolário 17.

Similarmente, podemos escrever as ações livres de S^3 em $Sp(2)$ com quocientes as esferas $\Sigma_{[j]}^7$ do Corolário 18, usando as mesmas homotopia $F_0 \left(\begin{smallmatrix} a \\ b \end{smallmatrix} \right)$.

OBSERVAÇÃO 28. As ações exóticas do tipo (*) são consequência de considerações puramente homotópicas. Porém, o ingrediente principal é a aplicação

$$F : S^3 \times S^3 \times [0, \pi/2] \longrightarrow S^3$$

que fornece a homotopia entre

$$(A, B) \longrightarrow A^{12} (\bar{B}\bar{A})^{12} \bar{B}^{-12}$$

e

$$(A, B) \longrightarrow 1.$$

A sua existência pode ser interpretada também na seguinte maneira: A álgebra dos quartênios unitários satisfaz uma identidade polinomial, módulo homotopia, do tipo

$$x^{12} y^{12} \sim y^{12} x^{12}$$

$$\text{ou } x^{12} (\bar{y}\bar{x})^{12} \bar{y}^{-12} - 1 \sim 0.$$

Achamos que uma investigação explícita da aplicação F seria muito interessante do ponto de vista Algébrico, Topológico e também do ponto de vista de Geometria Diferencial, relativo às métricas Riemannianas das esferas $S^7_{[i]}$.

OBSERVAÇÃO. Os demais $SO(4)$ -fibrados dos principais $P_{m,n}$ sobre S^4 , i.e., com $m = 2, 3, \dots$ e n qualquer (ver p. 37), foram recentemente descritos pelo autor.

BIBLIOGRAFIA

- [A-H-S] M.F. ATIYAH, N. HITCHIN e I.M. SINGER, Self duality in four dimensional riemannian geometry. Proc. R. Soc. London, Ser. A 362, 425-461 (1978).
- [C - G] J. CHEEGER e D. GROMOLL, On the structure of complete open manifolds of non-negative curvature. Ann. Math.96, 413-443 (1972).
- [D - R] A. DERDZINSKI e A. RIGAS, Unflat connection on 3-sphere bundles over S^4 . Trans. A.M.S. 265, N° 2, 485-493 , (1981).
- [E - K] J. ELLIS e N. KUIPER, An invariant for certain smooth manifolds. Ann. Mat. Pura Appl. 93-110 (1962).
- [G - M] D. GROMOLL e W. MEYER, An exotic sphere with non negative sectional curvature. Ann. Math. 100, 407-411 , (1974).
- [H] P. HILTON, Suspension theorems and the generalized Hopf invariant , Proc. London Math. Soc.(3) 1, 462-492 (1951).
- [Hu] S. - T.HU, Homotopy theory Acad. Press (1959).

- [J - W] I.M. JAMES e J.H.C. WHITEHEAD, The homotopy theory of sphere bundles over spheres, I e II, Proc. London Math. Soc. 4 (1954), 196-218 e 5 (1955), 148-166.
- [K - N] S. KOBAYASHI e K. NOMIZU, Foundations of differential geometry, Interscience, New York and London (1963).
- [R₁] A. RIGAS, Geodesic spheres as generators of $\pi_q(O)$, $\pi_{q+1}(BO)$, Jour.Dif.Geom. (13) 4, 527-545 (1978).
- [R₂] A. RIGAS, Some bundles of non-negative curvature. Math. Ann. (232), 187-193 (1978).
- [S] N. STEENROD, The topology of fibre bundles, Princeton Univ. Press (1951).
- [W] C.T.C. WALL, Surgery on compact manifolds. Acad. Press (1970).
- [We] A. WEINSTEIN, Fat bundles and symplectic manifolds. Advances in Math. Vol. 37, Nº 3, 239-250 (1980).
- [T] T. TAMURA, Homeomorphy classification of total spaces of sphere bundles over spheres. Jour. Math. Soc. Japan 10, 29-43 (1958).